

## Двухкаскадный энерго-масс-анализатор

А. А. СЫСОЕВ, Б. И. НИКОЛАЕВ, В. Ф. ЧЕБАЕВСКИЙ, Г. А. САМСОНОВ

УДК 621. 384.8:543.51

При решении многих задач, связанных с корпускулярной диагностикой потоков плазмы, необходима информация об энергетическом и массовом составе этих потоков. Очень часто знание энерго-масс-спектров дает возможность определить место и источник образования ионов, что помогает выбрать приемлемую конструкцию и оптимальный режим работы плазменных источников. Для решения этих задач, а также в случаях, когда необходимо знать влияние примесей на свойства плазмы, уровень и частоту колебаний ионного тока в потоке плазмы, наиболее успешным оказалось применение приборов масс-спектрометрического типа.

К сожалению, известные в настоящее время приборы, которые используются для указанных целей, имеют ряд недостатков. Так, например, приборы с магнитными масс-анализаторами [1, 2] не обладают достаточным быстродействием при регистрации всего диапазона масс. Приборы с время-пролетными масс-анализаторами [3, 4] обладают приемлемым быстродействием, но имеют малую светосилу и небольшое энергетическое и массовое разрешение. В работе [5] описан прибор, в котором устранены перечисленные недостатки. Разрешающая способность по массам и энергиям этого прибора значительно больше, чем у приборов, описанных в работе [3, 4]. Однако в некоторых случаях требуется массовое разрешение  $\sim 100$  при сохранении всех преимуществ, которыми обладают энерго-масс-анализаторы, использующие время-пролетный метод разделения ионов по массам.

В настоящей работе приведена схема двухкаскадного энерго-масс-анализатора (рис. 1), позволяющего получать существенно большее массовое разрешение

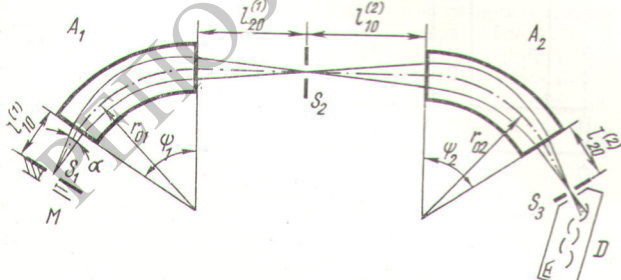


Рис. 1. Схема двухкаскадного энерго-масс-анализатора:  $M$  — модулятор;  $A_1$ ,  $A_2$  — электростатические анализаторы;  $D$  — детектор (вторичный электронный умножитель);  $S_1$ ,  $S_2$ ,  $S_3$  — диафрагмы.

за счет значительной компенсации aberrаций, которые ограничивали массовое разрешение в работе [5].

Модулятор  $M$  формирует «пакеты» из ионного потока. Ионы, выходящие из модулятора под разными углами, разделяются по энергии в электростатической фокусирующей системе (ЭФС) [6]. После фокусировки на щели  $S_2$  через вторую ЭФС проходят ионы с небольшим разбросом по энергиям, которые далее фокусируются на щели  $S_3$  детектора  $D$ . На пути от модулятора до детектора происходит разделение в соответствии с  $m/q$ . Относительное положение каскадов  $A_1$  и  $A_2$  выбрано с таким расчетом, чтобы ионы, движущиеся в первой ЭФС по внутренним траекториям и увеличивающие энергию на входной границе первого каскада. Во втором каскаде двигались по внешним траекториям и уменьшали энергию на его входной границе (распределение потенциалов задано таким, чтобы энергия ионов, движущихся по центральной траектории, не изменялась). За счет соответствующего выбора геометрических параметров и распределения полей можно свести aberrации по времени пролета ко второму порядку малости относительно  $\alpha$  [7]. Это позволяет использовать пучки ионов с большими углами расходимости без существенного уменьшения массового разрешения, что необходимо для увеличения светосилы прибора. Исходя из вышесказанного параметры системы были выбраны следующими:  $r_{01} = r_{02} = r_0 = 200 \text{ м.м.}$

$$\psi_1 = \psi_2 = \psi = 60^\circ; \lambda_{10}^{(1)} = \frac{l_{10}}{r_0} = 0,75; \lambda = \frac{l_{20}}{r_0} + \frac{l_{10}^{(2)}}{r} \cong 4,0; \lambda_{20}^{(2)} = \frac{l_{20}^{(2)}}{r_0} = 1,0.$$

Система рассчитана таким образом, чтобы осуществлялась фокусировка ионов в вертикальном направлении.

Полученное экспериментально энергетическое разрешение составляло около 200. Массовое разрешение зависело от массы ионов и возрастало с увеличением последней. На рис. 2 приведен масс-спектр для криптона при энергии ионов 1600 эв. На осциллограмме хорошо видны массовые линии  $\text{Cr}^{82}$ ,  $\text{Cr}^{83}$ ,  $\text{Cr}^{84}$  и  $\text{Cr}^{86}$ . В случае изотопов ксенона соседние массовые линии 131 и 132 разрешаются на уровне 50%. Следует отметить, что с уменьшением энергии ионов массовое разрешение увеличивается.

Энергия ионов определяется из соотношения  $U_0 = (3,0 \pm 0,1) V \text{ эв}$ , где  $V$  — напряжение на анализа-

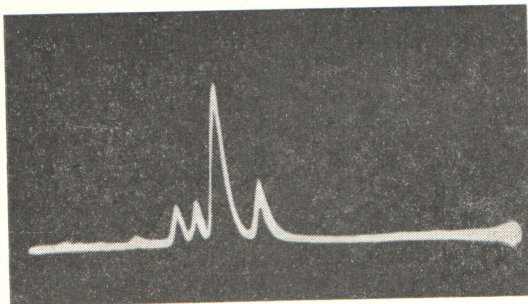


Рис. 2. Массовый спектр криптона

торах. Развертка энергетических спектров ионов может осуществляться как вручную, так и автоматически [5].

Поступило в Редакцию 17/XII 1966 г.

## ЛИТЕРАТУРА

1. R. K newsu b f f, A. T i c k n e r. J. Chem. Phys., 36, 674 (1962).
2. W. D a v i s, T. V a n d e r s l i s e. Phys. Rev., 131, 219 (1963).
3. B. B. A ф р о с и м о в и д р. ЖТФ, 30, 4456 (1960).
4. Э б е н к и У и л к е р с о н. «Приборы для научных исследований», 34, 14 (1963).
5. А. А. Сысоев и др. В сб. «Физическая электроника». Вып. 3. 1966, стр. 29.
6. В. И. Дымович, А. А. Сысоев. В сб. «Физическая электроника». Вып. 2. 1965, стр. 15.
7. А. А. Сысоев, Б. И. Николаев. В сб. «Физическая электроника». Вып. 3. 1966, стр. 20.

## Расширение энергетического диапазона применения сцинтилляционных детекторов в дозиметрии $\gamma$ -излучения

С. П. ВЕРШИНИНА, А. Я. БЕРЛОВСКИЙ, Ю. А. ЦИРЛИН

УДК 621.387.464

Простые органические и неорганические сцинтилляторы имеют неудовлетворительную дозиметрическую характеристику малых энергий  $\gamma$ -излучения\*. Для расширения энергетического диапазона сцинтилляторов в дозиметрии низких энергий  $\gamma$ -излучения предлагаются использовать два специально подобранных сцинтилляционных счетчика и измерительную схему, регистрирующую разность анодных токов ФЭУ. Схема такого устройства приведена на рис. 1.

Поперечное сечение пучка излучения должно превышать рабочую поверхность сцинтилляторов. Энергетическая характеристика определяется формулой

$$\frac{I}{P} = M_1 \exp(-\mu_{\Phi_1} h_{\Phi_1}) \frac{1 - \exp(-\mu_1 h_1)}{\mu_1 h_1} \cdot \frac{\mu_{a_1}}{\mu_{a_B}} - M_2 \exp(-\mu_{\Phi_2} h_{\Phi_2}) \frac{1 - \exp(-\mu_2 h_2)}{\mu_2 h_2} \cdot \frac{\mu_{a_2}}{\mu_{a_B}},$$

где  $I$  — измеряемая разность токов ФЭУ;  $P$  — измеряемая мощность дозы;  $M_1$ ,  $M_2$  — коэффициенты усиления ФЭУ-1 и ФЭУ-2;  $\mu_{\Phi_1}$ ,  $\mu_{\Phi_2}$  — линейные коэффициенты ослабления  $\gamma$ -излучения первого и второго фильтров для энергий измеряемого излучения;  $h_{\Phi_1}$ ,  $h_{\Phi_2}$  — толщина первого и второго фильтров;  $\mu_1$ ,  $\mu_2$  — линейные коэффициенты ослабления  $\gamma$ -излучения для первого и второго сцинтилляторов;  $h_1$ ,  $h_2$  — толщина первого и второго сцинтилляторов;  $\mu_{a_1}$ ,  $\mu_{a_2}$  — «истинный» коэффициент поглощения  $\gamma$ -излучения для первого и второго сцинтилляторов;  $\mu_{a_B}$  — «истинный» коэффициент поглощения  $\gamma$ -излучения для воздуха.

Для измерения светового выхода сцинтилляторов применялись два фотомножителя. В качестве сцинтилляторов использовались кристаллы антрацена толщиной 0,5 см (величина, близкая к длине пробега квантов рентгеновского излучения с энергией 10 кэВ).

Энергетическая зависимость показаний устройства определялась по фильтрованному рентгеновскому излучению аппаратов РУМ-7 и РУМ-3, которое оценивалось в единицах толщины слоя половинного ослабления алюминия и меди. Точка 1250 кэВ была получена с помощью источника Соб<sup>60</sup>. Мощность дозы рентгеновского излучения измерялась наперстковой ионизацион-

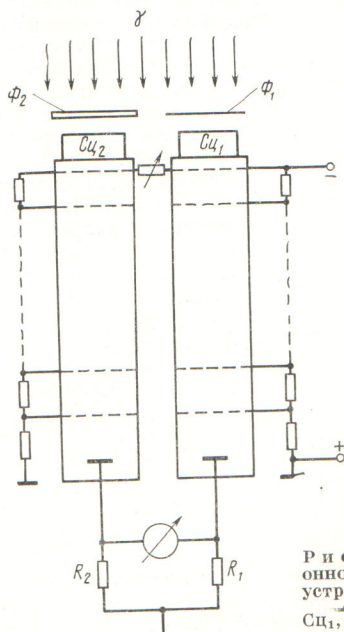


Рис. 1. Схема сцинтилляционного воздухоэквивалентного устройства:

Сц<sub>1</sub>, Сц<sub>2</sub> — сцинтилляционные детекторы; Ф<sub>1</sub>, Ф<sub>2</sub> — фильтры.

\* Д. Хайн, Р. Браунелл. Радиационная дозиметрия. М., Изд-во иностр. лит., 1958.